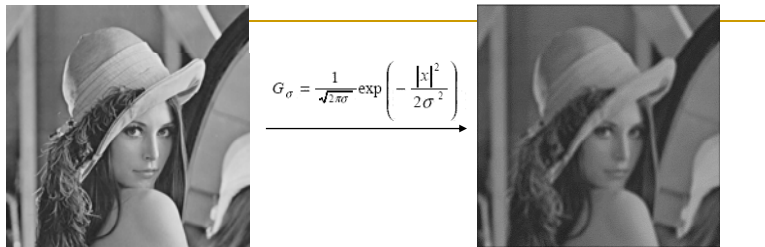


# Traitement d'Image :

## Filtrage d'image



Aymeric Histace

1

## Plan

- 1. Rappel
- 2. Problématique du filtrage
- 3. Filtres de lissage
- 4. Filtres dérivateurs
- 5. Approche différentielle
- 6. Restauration : initiation

Aymeric Histace

2

## Plan

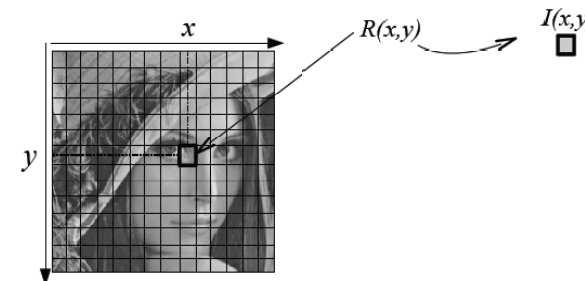
- 1. **Rappel**
- 2. Problématique du filtrage
- 3. Filtres de lissage
- 4. Filtres dérivateurs
- 5. Approche différentielle
- 6. Restauration : initiation

Aymeric Histace

3

## 1. Rappel

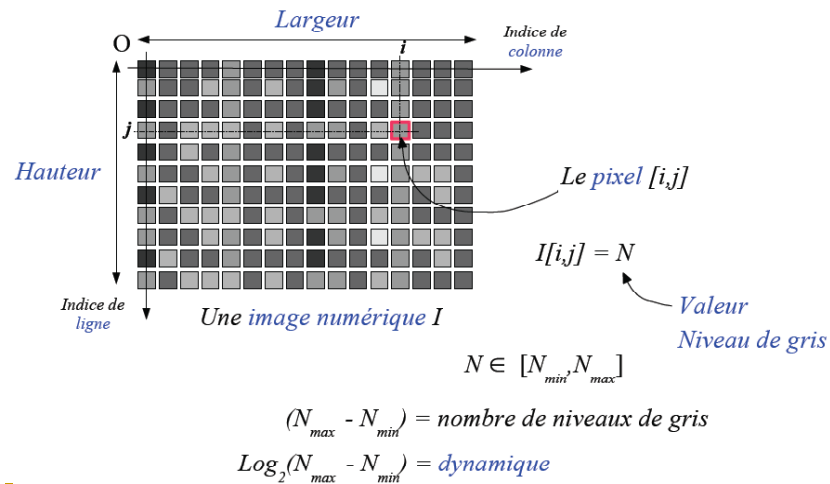
- **L'échantillonnage** est le procédé de discrétisation spatiale d'une image consistant à associer à chaque zone rectangulaire  $R(x,y)$  d'une image continue une unique valeur  $I(x,y)$ .



Aymeric Histace

4

# 1. Rappel



# Plan

- 1. Rappel
- 2. **Problématique du filtrage**
- 3. Filtres de lissage
- 4. Filtres dérivateurs
- 5. Approche différentielle
- 6. Restauration initiation

# 2. Filtrage d'image

- Le filtrage d'image a pour but :
  - D'atténuer l'effet du bruit d'acquisition sur une image.
  - Extraire des caractéristiques de l'image (contours).
  - Améliorer le contraste d'une image.

# 2. Filtrage d'image

- En termes de filtrage, on distinguera 2 grands types de filtre :
  - Les filtres de lissage (atténuation du bruit)
  - Les filtres dérivateurs (extraction des contours, rehaussement de contraste)

## Plan

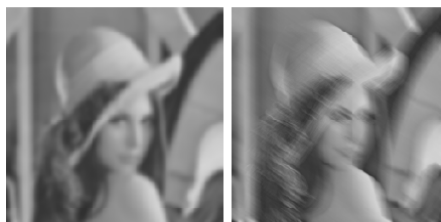
- 1. Rappel
- 2. Problématique du filtrage
- 3. **Filtres de lissage**
- 4. Filtres dérivateurs
- 5. Approche différentielle
- 6. Restauration : initiation

## 3. Filtre de lissage

- On s'intéresse ici aux techniques d'*amélioration* des images numériques, pour augmenter la qualité de leur rendu visuel, ou pour faciliter leur analyse.
- On cherche donc à atténuer, sinon supprimer une certaine *dégradation*.
- On distinguera ici :
  - les dégradations liées au *bruit* :  $g(x) = f(x)+b(x)$  ou  $g(x) = f(x)b(x)$  liées au capteur, à la quantification, à la transmission... On les traite en tirant parti des informations locales par le *filtrage*.
  - les dégradations *convolutives* :  $g(x) = f(x)*b(x)$  liées à un mouvement du capteur ou un défaut de mise au point. On les traite en inversant un opérateur linéaire, donc supposé connu : ce sont les techniques dites de *restauration* (voir section 6).

## 3. Filtre de lissage

- Exemples :



## 3. Filtre de lissage

- **Les filtres de lissage** sont des opérateurs qui *éliminent* des éléments *perturbateurs / non significatifs* dans les images numériques,
  - soit pour *améliorer* leur visualisation,
  - soit pour les *simplifier* en but d'un traitement postérieur.

Bruit  
gaussien



Bruit  
impulsionnel



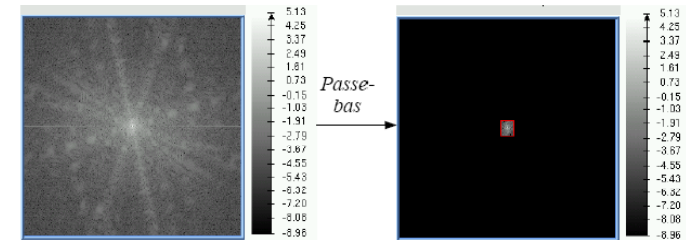
### 3. Filtre de lissage

- On distingue 3 grands types de filtres de lissage
  - (1) Filtrage dans le domaine de Fourier
  - (2) Filtrage par convolution
  - (3) Filtres non linéaires

### 3. Filtre de lissage

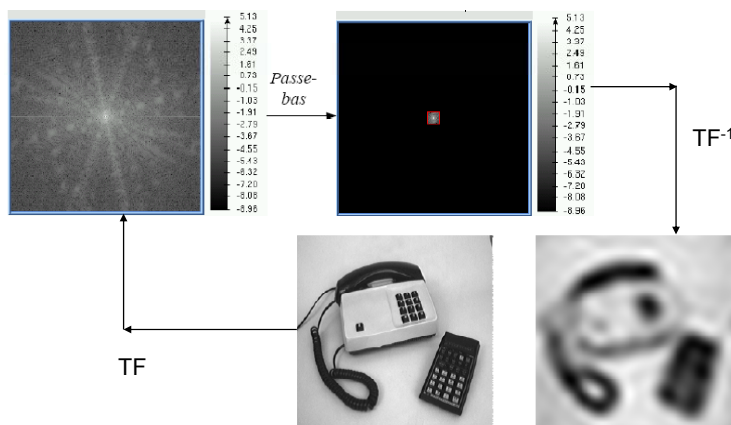
#### ■ Filtrage passe-bas dans le domaine de Fourier

- Le filtrage passe-bas est la multiplication dans le domaine fréquentiel par une *fonction porte* (fonction indicatrice d'un intervalle  $[-u_{max}, u_{max}] \times [-v_{max}, v_{max}]$ ).



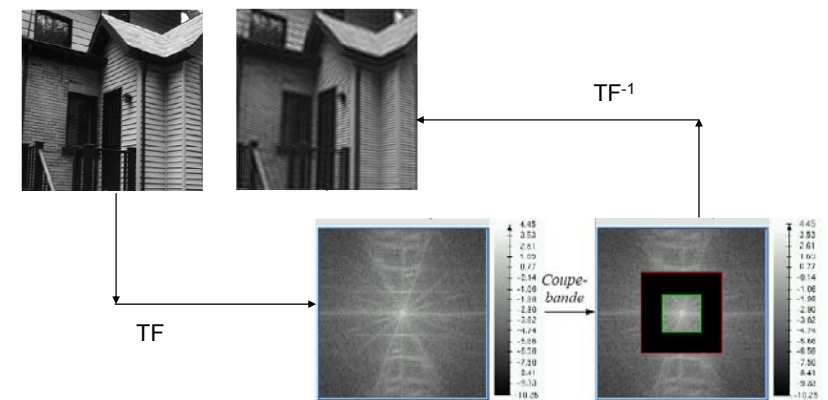
### 3. Filtre de lissage

#### ■ Filtrage passe-bas dans le domaine de Fourier



### 3. Filtre de lissage

#### ■ Filtrage coupe-bande dans le domaine de Fourier



### 3. Filtre de lissage

#### Filtrage par convolution

- La **multiplication** dans le domaine fréquentiel correspond à la **convolution** dans le domaine spatial.
- Un grand nombre de filtres de lissage peut être obtenu à partir de noyaux de convolution symétriques et normalisés (de somme égale à 1).

### 3. Filtre de lissage

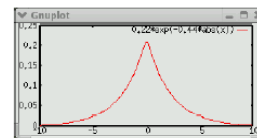
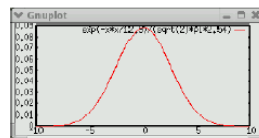
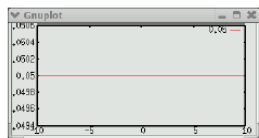
#### Filtrage par convolution

Les trois types de filtres les plus utilisés sont :

- Les filtres moyeneurs  $h(x, y) = \frac{1}{\lambda^2}$
- Les filtres gaussiens  $h(x, y) = \frac{1}{2\pi\sigma^2} e^{-\frac{(x^2+y^2)}{2\sigma^2}}$
- Les filtres exponentiels  $h(x, y) = \frac{\gamma^2}{4} e^{-\gamma(|x|+|y|)}$

### 3. Filtre de lissage

#### Filtrage par convolution : réponse impulsionnelle



$$\frac{1}{25} \begin{pmatrix} 1 & 1 & 1 & 1 & 1 \\ 1 & 1 & 1 & 1 & 1 \\ 1 & 1 & 1 & 1 & 1 \\ 1 & 1 & 1 & 1 & 1 \\ 1 & 1 & 1 & 1 & 1 \end{pmatrix}$$

Filtre moyeneur (5x5)

$$\frac{1}{864} \begin{pmatrix} 11 & 23 & 29 & 23 & 11 \\ 23 & 48 & 62 & 48 & 23 \\ 29 & 62 & 80 & 62 & 29 \\ 23 & 48 & 62 & 48 & 23 \\ 11 & 23 & 29 & 23 & 11 \end{pmatrix}$$

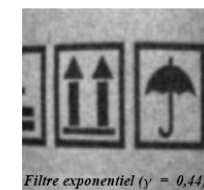
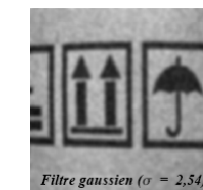
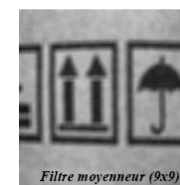
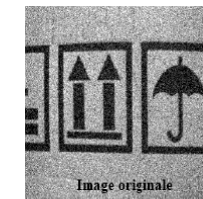
Filtre gaussien ( $\sigma = 1,41$ )

$$\frac{1}{80} \begin{pmatrix} 1 & 1 & 3 & 1 & 1 \\ 1 & 3 & 7 & 3 & 1 \\ 3 & 7 & 16 & 7 & 3 \\ 1 & 3 & 7 & 3 & 1 \\ 1 & 1 & 3 & 1 & 1 \end{pmatrix}$$

Filtre exponentiel ( $\gamma = 0,8$ )

### 3. Filtre de lissage

#### Filtrage par convolution : exemples



## 3. Filtre de lissage

### ■ Implantation des filtres de lissage linéaires

- En traitement d'images, les volumes de données traités sont bien sûr très importants.
- La prise en compte du temps de calcul reste un élément majeur dans les algorithmes en dépit des progrès technologiques exponentiels des microprocesseurs.
- L'implantation des filtres linéaires, en particulier ceux dont le support est grand, voire infini, est un problème incontournable.

## 3. Filtre de lissage

### ■ Implantation des filtres de lissage linéaires

- Les méthodes les plus courantes sont :
  - Multiplication dans le domaine de Fourier (La convolution devient une multiplication)
  - Convolution par noyau tronqué
  - Noyaux séparables
  - Implantation récursive des filtres RII

## 3. Filtre de lissage

### ■ Inconvénients des filtres de lissage linéaires

- Par convolution : effet de bord
- Dégradation des contours de l'image
- Inefficace sur les bruits de type impulsionnel (« salt and pepper »)

## 3. Filtre de lissage

### ■ Filtres non linéaires

- Deux aspects du lissage sont concernés par le filtrage non linéaire :
  - *Le bruit impulsionnel* : les filtres linéaires éliminent mal les valeurs aberrantes.
  - *L'intégrité des frontières* : on souhaiterait éliminer le bruit sans rendre flou les frontières des objets.

### 3. Filtre de lissage

#### ■ Filtres non linéaires

- Les principaux filtres non linéaires sont :
  - Les filtres d'ordre (médian en particulier)
  - Le filtre de Nagao
  - Les filtres morphologiques

### 3. Filtre de lissage

#### ■ Filtres d'ordre

- Les filtres d'ordres procèdent en remplaçant les valeurs de chaque pixel par la valeur qui occupe *un certain rang* lorsqu'on trie les valeurs observées dans *un certain voisinage* du pixel.

### 3. Filtre de lissage

#### ■ Filtres d'ordre : principe

- Les valeurs dans le voisinage de  $(x,y)$  :

$$V(x, y) = [a_1, a_2, \dots, a_n]$$

- Permutation des valeurs dans l'ordre croissant

$$V_p(x, y) = [b_1, b_2, \dots, b_k]$$

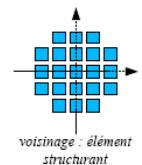
- Le filtre d'ordre de rang  $k$  est alors défini par :

$$\rho_k(x, y) = b_k$$

### 3. Filtre de lissage

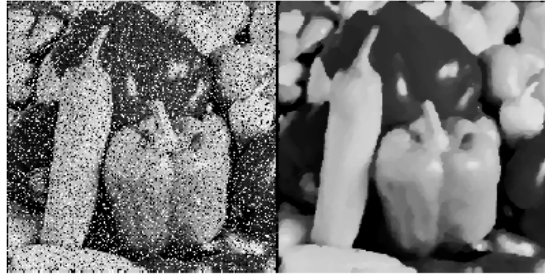
#### ■ Filtres d'ordre : exemples

- Pour  $k=N/2$ , on parle de filtre médian
- Pour  $k=1$ , on parle d'érosion morphologique
- Pour  $k=N$ , on parle de dilatation morphologique
- L'élément structurant de voisinage n'a pas nécessité à être carré



### 3. Filtre de lissage

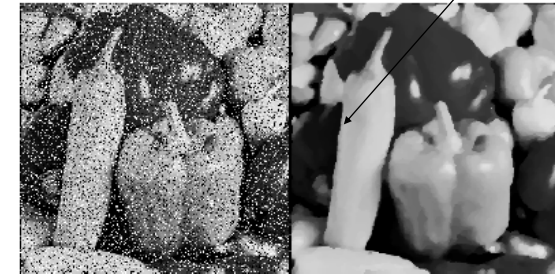
- Filtres d'ordre : filtre médian



ex : bruit impulsionnel traité par un filtre médian

### 3. Filtre de lissage

- Filtres d'ordre : filtre médian



ex : bruit impulsionnel traité par un filtre médian

### 3. Filtre de lissage

- Filtres d'ordre : érosion et dilatation



Erosion

Dilatation

### 3. Filtre de lissage

- Filtre de Nagao

- On trouve dans la littérature certains filtres **combinant** filtrage linéaire et filtre d'ordre.
- Le filtre de Nagao en est un.



### 3. Filtre de lissage

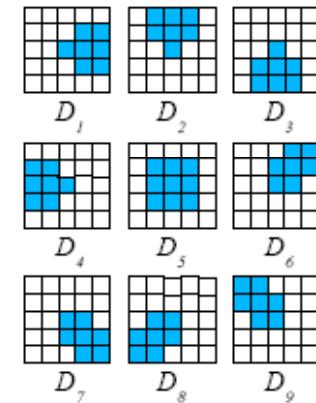
#### ■ Filtre de Nagao

- Le filtre de Nagao examine la fenêtre 5x5 centrée sur chaque pixel.
- 9 domaines sont définis dans cette fenêtre (voir figure suivante).
- On calcule pour chaque domaine  $D_i$  la moyenne  $\mu_i$  et la variance  $v_i$ .
- Le résultat de l'opérateur est la moyenne du domaine qui présente la plus faible variance.

### 3. Filtre de lissage

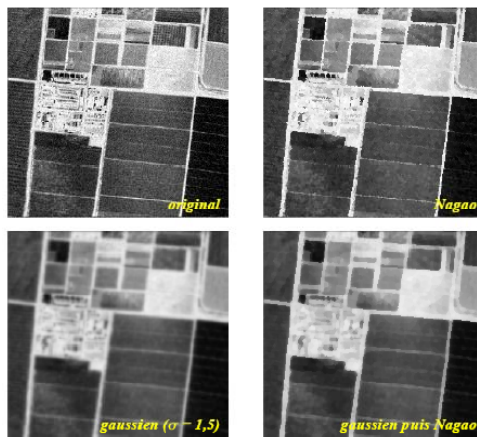
#### ■ Filtre de Nagao

- Les 9 fenêtres :



### 3. Filtre de lissage

#### ■ Filtre de Nagao :



### 3. Filtre de lissage

#### ■ Filtres morphologiques

- Il existe deux grands types de filtres morphologiques :
  - Le filtre d'ouverture
  - Le filtre de fermeture

### 3. Filtre de lissage

#### ■ Ouverture et fermeture

- L'*ouverture* morphologique s'obtient par la composition d'une érosion suivie d'une dilatation.
- La *fermeture* morphologique est l'opération duale de l'ouverture : Elle est égale à la composition d'une dilatation suivie d'une érosion.

### 3. Filtre de lissage

#### ■ Ouverture et fermeture

- Visuellement :
  - L'ouverture élimine les petites composantes, et ouvre les petits isthmes.
  - La fermeture bouche les petites trous, et ferme les petits détroits.

### 3. Filtre de lissage

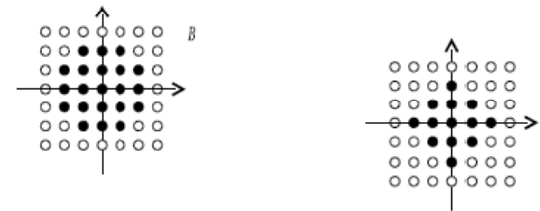
#### ■ Ouverture et fermeture ?



### 3. Filtre de lissage

#### ■ Ouverture et fermeture ?

- Le choix du voisinage est important

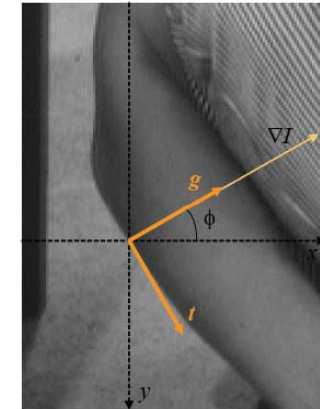


## Plan

- 1. Rappel
- 2. Problématique du filtrage
- 3. Filtres de lissage
- 4. **Filtres dérivateurs**
- 5. Approche différentielle
- 6. Restauration initiation

## 4. Filtres dérivateurs

- **Rappel :**
  - **Le modèle différentiel**
  - Au premier ordre, on peut ainsi associer à chaque point  $(x,y)$  un repère propre  $(t,g)$ , où le vecteur  $t$  donne la direction de l'*isophote* (ligne de variation minimale) et  $g$  la direction orthogonale, celle du *gradient*.



## 4. Filtres dérivateurs

- Les *variations locales d'intensité* constituent une source primordiale d'information en traitement d'images.
- Elles sont mesurées par le *gradient*, fonction *vectorielle* des pixels  $[i,j]$  :

$$\nabla f[i, j] = \left( \frac{\partial f}{\partial x}[i, j], \frac{\partial f}{\partial y}[i, j] \right)$$

## 4. Filtres dérivateurs

- D'autres grandeurs différentielles sont utilisées en traitement d'images, comme le *laplacien*, fonction *scalaire* de  $[i,j]$  :

$$\Delta f[i, j] = \frac{\partial^2 f}{\partial x^2}[i, j] + \frac{\partial^2 f}{\partial y^2}[i, j]$$

- ou encore le *hessien*, fonction *matricielle* de  $[i,j]$  :

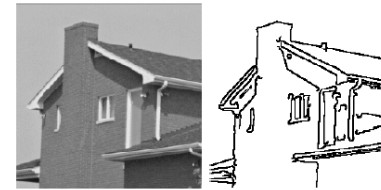
$$H_f[i, j] = \begin{pmatrix} \frac{\partial^2 f}{\partial x^2}[i, j] & \frac{\partial^2 f}{\partial x \partial y}[i, j] \\ \frac{\partial^2 f}{\partial x \partial y}[i, j] & \frac{\partial^2 f}{\partial y^2}[i, j] \end{pmatrix}$$

## 4. Filtres dérivateurs

- Le problème du calcul des filtres dérivateurs dans les images numériques est l'*approximation* de ces grandeurs différentielles dans notre espace discret
- On s'intéresse aussi à leur *utilisation* dans le cadre du rehaussement, et de la détection de contours,...

## 4. Filtres dérivateurs

### ■ Exemples :



les contours (image de droite) constituent une simplification de l'image utile dans de nombreuses applications. Dans les approches linéaires, ils sont en général obtenus à partir des maxima locaux de la dérivée première, ou des passages par zéro de la dérivée seconde.



rehaussement de contraste obtenu par combinaison linéaire avec le laplacien.



## 4. Filtres dérivateurs

### ■ Exemples :

- L'implantation de ces filtres peut se faire comme précédemment soit dans le domaine fréquentiel (filtrage passe-haut par exemple)
- Soit par convolution directe.

## 4. Filtres dérivateurs

### ■ Implantation par convolution

- Dérivées directionnelles d'ordre 1
  - Les approximations les plus simples des dérivées directionnelles se font par différences finies calculées par convolution avec des noyaux très simples :

$$\frac{\partial f}{\partial x} \longrightarrow [-1, 1] \quad \frac{\partial f}{\partial y} \longrightarrow \begin{bmatrix} -1 \\ 1 \end{bmatrix}$$

## 4. Filtres dérivateurs

### ■ Implantation par convolution

#### □ Dérivées directionnelles d'ordre 1

- On utilise plus souvent :

$$\frac{\partial f}{\partial x} \longrightarrow [-1,0,1] \quad \frac{\partial f}{\partial y} \longrightarrow \begin{bmatrix} -1 \\ 0 \\ 1 \end{bmatrix}$$

Ces noyaux permettent en effet d'obtenir des contours plus épais mais bien centrés

## 4. Filtres dérivateurs

### ■ Implantation par convolution

#### □ Dérivées directionnelles d'ordre 1

- Ces opérations étant très sensibles au bruit, on les combine en général avec un filtre lisseur dans la direction orthogonale à celle de dérivation
- par exemple par le noyau suivant (ou sa transposée) :

$$[1,2,1]$$

## 4. Filtres dérivateurs

### ■ Implantation par convolution

#### □ Dérivées directionnelles d'ordre 1

- Le calcul des dérivées directionnelles en x et en y revient finalement à la convolution avec les noyaux suivants :

$$\begin{aligned} f_x(i, j) &= (f * h_x)[i, j] \\ f_y(i, j) &= (f * h_y)[i, j] \end{aligned} \quad \text{avec} \quad h_x = \begin{bmatrix} -1 & 0 & 1 \\ -2 & 0 & 2 \\ -1 & 0 & 1 \end{bmatrix} \quad h_y = \begin{bmatrix} -1 & -2 & -1 \\ 0 & 0 & 0 \\ 1 & 2 & 1 \end{bmatrix}$$

- Ce filtre est connu sous le nom de **filtre de Sobel**

## 4. Filtres dérivateurs

### ■ Implantation par convolution

#### □ Dérivées directionnelles d'ordre 1

- On peut ensuite calculer la norme du gradient :

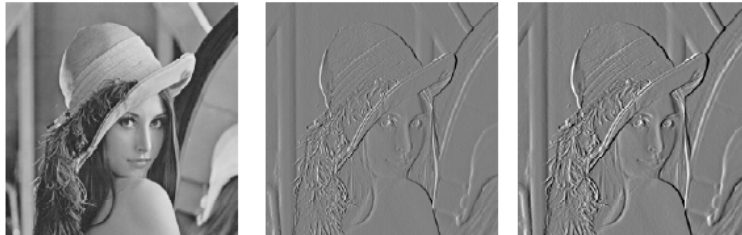
$$\begin{aligned} \|\nabla f(i, j)\|_2 &= \sqrt{f_x(i, j)^2 + f_y(i, j)^2} \\ \|\nabla f(i, j)\|_1 &= |f_x(i, j) + f_y(i, j)| \end{aligned}$$

- Et son orientation :  $\arg(\nabla f(i, j)) = \arctan\left(\frac{f_y(i, j)}{f_x(i, j)}\right)$

## 4. Filtres dérivateurs

### ■ Implantation par convolution

- Dérivées directionnelles d'ordre 1



Original

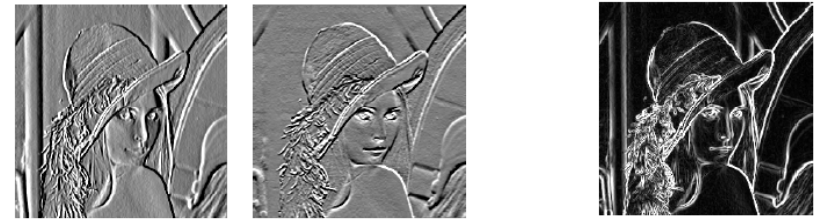
Noyau [-1 1]

Noyau [-1 0 1]

## 4. Filtres dérivateurs

### ■ Implantation par convolution

- Dérivées directionnelles d'ordre 1



Gradient horizontal (Sobel)

Gradient vertical (Sobel)

Module du gradient de Sobel

## 4. Filtres dérivateurs

### ■ Implantation par convolution

- Dérivées directionnelles d'ordre 2

- On utilise le plus souvent :

$$\frac{\partial^2 f}{\partial x^2} \longrightarrow [1, -2, 1] \quad \frac{\partial^2 f}{\partial y^2} \longrightarrow \begin{bmatrix} 1 \\ -2 \\ 1 \end{bmatrix}$$

## 4. Filtres dérivateurs

### ■ Implantation par convolution

- Dérivées directionnelles d'ordre 2

- Le Laplacien peut donc être estimé par le noyau suivant

$$\begin{pmatrix} 0 & 1 & 0 \\ 1 & -4 & 1 \\ 0 & 1 & 0 \end{pmatrix} \quad \text{4-connexité} \quad \begin{pmatrix} 1 & 1 & 1 \\ 1 & -8 & 1 \\ 1 & 1 & 1 \end{pmatrix} \quad \text{8-connexité}$$

## 4. Filtres dérivateurs

### ■ Implantation par convolution

- Dérivées directionnelles d'ordre 2



## 4. Filtres dérivateurs

### ■ Rehaussement de contraste

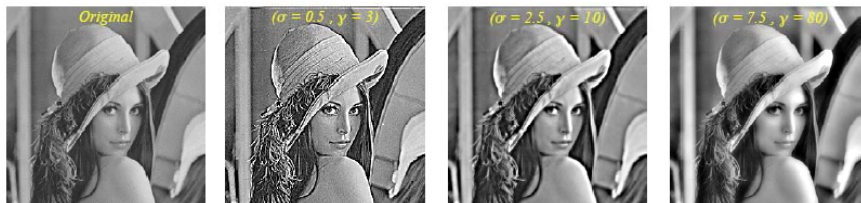
- L'opération de rehaussement de contraste à base de filtre dérivateur s'obtient de la manière suivante :

$$R_f(i, j) = f(i, j) - \gamma \cdot \Delta f(i, j)$$

- En soustrayant le Laplacien à l'image originale, on augmente le contraste.

## 4. Filtres dérivateurs

### ■ Rehaussement de contraste



## Plan

- 1. Historique du TI
- 2. Images numériques
- 3. Outils fondamentaux
- 4. Filtrage d'image
- 5. Approche variationnelle
- 6. Restauration : initiation

## 5. Approche variationnelle

### 5.1 Introduction

- L'approche variationnelle du filtrage d'image est (d'un certain point de vue) une réécriture de la problématique sous forme d'Equations aux Dérivées Partielles (EDP).
- **Origine :**
  - Analogie entre l'atteinte de l'équilibre thermique d'un ensemble de particules en thermodynamique (diffusion thermique) et la régularisation de la luminance des images bruitées.

## 5. Approche variationnelle

### 5.1 Introduction

- **Propriété importante :**
  - *Sous certaines conditions, il y a équivalence entre diffuser itérativement une image au moyen de l'EDP de la chaleur et la filtrer par convolution avec un masque gaussien d'écart-type  $\sigma$ .*

## 5. Approche variationnelle

### 5.1 Introduction

- **Propriété importante :**
  - Soit  $f_0$  une image bruitée et  $t$  le paramètre temporel de diffusion, l'EDP de la chaleur appliquée à  $f_0$  s'écrit alors :

$$\left\{ \begin{array}{l} f(x, y, 0) = f_0(x, y) \\ \frac{\partial f(x, y, t)}{\partial t} = \Delta f(x, y) = \text{div}(\nabla f(x, y)) \end{array} \right.$$

## 5. Approche variationnelle

### 5.1 Introduction

- **Propriété importante :**
  - *L'équivalence avec le filtrage gaussien d'écart-type  $\sigma$  est vérifiée lorsque  $\sigma = \sqrt{2t}$*

$$\left\{ \begin{array}{l} f(x, y, 0) = f_0(x, y) \\ \frac{\partial f(x, y, t)}{\partial t} = \Delta f(x, y) = \text{div}(\nabla f(x, y)) \end{array} \right.$$



## 5. Approche variationnelle

### 5.1 Introduction

#### ■ Propriété importante :

##### □ Piste pour la preuve :

- Déterminer les solutions du type :  $f(x, t) = f_1(x, y) \cdot f_2(t)$
- En déduire la **solution fondamentale** de l'équation de la chaleur
- En déduire la solution générale donnée par :

$$f(x, y, t) = \frac{1}{2\sqrt{\pi t}} \int_{-\infty}^{+\infty} e^{-\frac{(x-X)^2 + (y-Y)^2}{4t}} \cdot f_0(X, Y) dXdY$$

## 5. Approche variationnelle

### 5.1 Introduction

#### ■ Propriété importante :

##### □ Piste pour la preuve :

$$f(x, y, t) = \frac{1}{2\sqrt{\pi t}} \int_{-\infty}^{+\infty} e^{-\frac{(x-X)^2 + (y-Y)^2}{4t}} \cdot f_0(X, Y) dXdY$$

- Ceci est par définition la convolution de  $f_0$  par une gaussienne d'écart-type  $\sigma = \sqrt{2t}$
- Pour plus de détails, me demander le pdf.

## 5. Approche variationnelle

### 5.2 Filtrage anisotrope

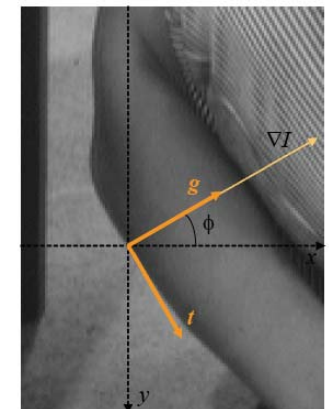
- L'équation de la chaleur est donc une autre façon de concevoir le filtrage gaussien.
- Cependant, un tel filtrage comme nous l'avons vu est isotrope et ne permet donc pas de préserver les zones sensibles de l'image (les contours ou transitions).

## 5. Approche variationnelle

### 5.2 Filtrage anisotrope

- Afin de lever cette limitation une écriture plus générale de l'équation de la chaleur est proposée :

$$\frac{\partial f}{\partial t} = c_t \cdot f_{tt} + c_g \cdot f_{gg}$$



## 5. Approche variationnelle

### 5.2 Filtrage anisotrope

- Une telle écriture permet de pondérer différemment les directions de diffusion (isophote et gradient) !!!
- On parle d'**anisotropie**

$$\frac{\partial f}{\partial t} = c_t \cdot f_{tt} + c_g \cdot f_{gg}$$

Pondération de l'isophote

Pondération du gradient

Pondération de l'isophote

Aymeric Histace

69

## 5. Approche variationnelle

### 5.2 Filtrage anisotrope

- Dans le cas où les deux coefficients de pondération sont égaux à 1, on retrouve l'équation de la chaleur

$$\frac{\partial f}{\partial t} = f_{tt} + f_{gg} = \Delta f$$

Aymeric Histace

70

## 5. Approche variationnelle

### 5.3 Perona-Malik

- L'EDP proposée par Perona-Malik s'inspire de l'EDP de la chaleur, mais les auteurs y intègre une **non-linéarité** sous forme d'une fonction **g** à valeur positive, monotone et décroissante :

$$\frac{\partial f(x, y, t)}{\partial t} = \operatorname{div} (g(|\nabla f(x, y)|) \nabla f(x, y))$$

Aymeric Histace

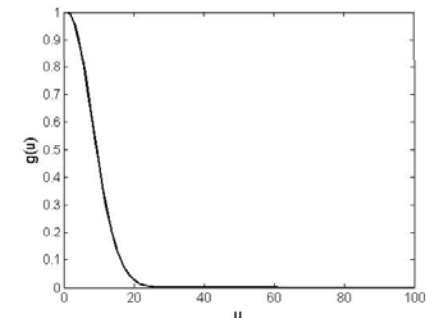
71

## 5. Approche variationnelle

### 5.3 Perona-Malik

- La fonction **g** la plus couramment utilisée est du type :

$$g(u) = e^{-\frac{u^2}{k^2}}$$



Aymeric Histace

72

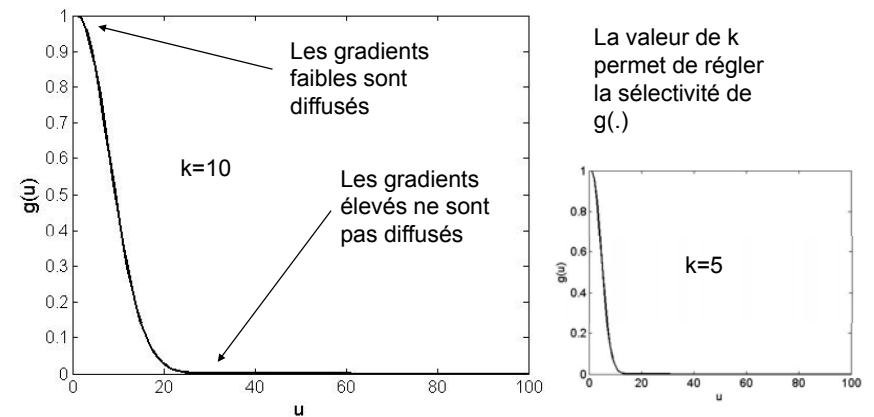
## 5. Approche variationnelle

### 5.3 Perona-Malik

- La fonction  $g$  permet de pondérer la diffusion en fonction de l'appartenance ou non du pixel courant à un contour :
- Si le pixel appartient à un contour (gradient local élevé) alors  $g(\cdot)$  renvoie une valeur proche de 0 : il n'y a pas diffusion
- Si le pixel n'appartient pas à un contour (gradient local faible) alors  $g(\cdot)$  renvoie cette fois-ci une valeur importante non nulle : il y a diffusion

## 5. Approche variationnelle

### 5.3 Perona-Malik



## 5. Approche variationnelle

### 5.3 Perona-Malik



## 5. Approche variationnelle

### 5.3 Perona-Malik

- L'équation de Perona-Malik peut s'écrire sous la forme généralisée décrite précédemment en prenant :

$$c_t = g(|\nabla f|)$$
$$c_g = g'(|\nabla f|)|\nabla f| + g(|\nabla f|)$$

- **Problème :  $c_g$  peut être négatif. La méthode est alors instable.**

## 5. Approche variationnelle

### 5.3 Perona-Malik

- Plusieurs améliorations ont été apportées par la suite. Les deux principales étant :
  - Lissage du gradient par convolution avec une gaussienne avant le calcul de la fonction  $g$  : **approche de Catté et al**
  - Remplacement de la fonction  $g$  par une matrice  $D$ , le tenseur de structure associée à l'image (emprunt à la mécanique) : **approche matricielle de Weickert**

## Plan

- 1. Historique du TI
- 2. Images numériques
- 3. Outils fondamentaux
- 4. Filtrage d'image
- 5. Approche variationnelle
- 6. **Restauration : initiation**

## 6. Restauration : initiation

- **Problématique :**
  - On se place dans le cadre où l'image est dégradée de manière *convolutive* :  $i(x,y) = b(x,y)*h(x,y)$ .
  - Ces dégradations sont liées à un mouvement du capteur ou un défaut de mise au point.
  - On les traite en inversant un opérateur linéaire, donc supposé connu.

## 6. Restauration : initiation

- **Problématique :**
  - Dans le domaine spectral :  $I(u,v)=B(u,v).H(u,v)$
  - On cherche donc une fonction de transfert  $H'(u,v)$  telle que :
$$o(x,y) = i(x,y) * h'(x,y)$$
  - Avec 
$$o(x,y) \approx b(x,y)$$
  - Soit 
$$O(u,v) = I(u,v).H'(u,v) = B(u,v).H(u,v).H'(u,v)$$

## 6. Restauration : initiation

### ■ Problématique :

- On en conclut donc que  $H(u,v).H'(u,v)=1$
- Et que  $h'(x,y)$  est telle que :

$$H'(u,v) = \frac{1}{H(u,v)}$$

- **Problèmes :** Solution instable si  $H(u,v)=0$

## 6. Restauration : initiation

### ■ Solution n°1

- On construit  $H'(u,v)$  de la manière suivante :

$$H'(u,v) = \frac{1}{H(u,v) + C}$$

- Avec  $C$  une constante positive telle que  $H(u,v) \gg C$
- Si  $H(u,v)$  tend vers 0 alors  $H'(u,v)$  tend vers  $1/C$  (saturation)

## 6. Restauration : initiation

### ■ Solution n°1

- Résultat



- **Problème :** Artefacts HF très visibles (amplification en  $1/C$ )

## 6. Restauration : initiation

### ■ Solution n°2

- On construit  $H'(u,v)$  de la manière suivante :

$$H'(u,v) = \frac{H(u,v)}{H^2(u,v) + C}$$

- Avec  $C$  une constante positive telle que  $H^2(u,v) \gg C$
- Si  $H(u,v)$  tend vers 0 alors  $H'(u,v)$  tend vers 0

## 6. Restauration : initiation

### ■ Solution n°2

- Résultat



- Proche du filtrage optimal

## 6. Restauration : initiation

### ■ Filtrage optimal : Filtre de Wiener

- On construit  $H'(u,v)$  de façon à ce que :

$$H'(u,v) = \frac{H(u,v)}{H^2(u,v) + \frac{\Phi_{nn}}{\Phi_{bb}}}$$

- $\Phi_{ab}(u,v)$  étant la TF de la corrélation entre  $a(x,y)$  et  $b(x,y)$
- $n(x,y)$  représentant un bruit additif détériorant l'image

## 6. Restauration : initiation

### ■ Filtrage optimal : Filtre de Wiener

- Rappel : fonction de corrélation entre  $a(x,y)$  et  $b(x,y)$

$$\phi_{ab}(x,y) = \int_{-\infty}^{\infty} \int_{-\infty}^{\infty} a(\xi - x, \eta - y) b(\xi, \eta) d\xi d\eta$$

- $\Phi_{aa}(x,y)$  : autocorrélation

## 6. Restauration : initiation

### ■ Filtrage optimal : Filtre de Wiener

- **Construction de  $H'(u,v)$**  : on cherche à minimiser une fonction énergétique caractérisant la qualité de restauration :

$$E = \int_{-\infty}^{\infty} \int_{-\infty}^{\infty} (o(x,y) - d(x,y))^2 dx dy$$

- Avec  $d(x,y)$  l'image désirée et  $o(x,y) = i(x,y) * h'(x,y)$

## 6. Restauration : initiation

### ■ Filtrage optimal : Filtre de Wiener

- Ainsi :

$$E = \int_{-\infty}^{\infty} \int_{-\infty}^{\infty} (o^2(x, y) - 2o(x, y)d(x, y) + d^2(x, y))dxdy$$

- Or par définition

$$o(x, y) = \int_{-\infty}^{\infty} \int_{-\infty}^{\infty} i(x - \xi, y - \eta)h'(\xi, \eta)d\xi d\eta \times \int_{-\infty}^{\infty} \int_{-\infty}^{\infty} i(x - \alpha, y - \beta)h'(\alpha, \beta)d\alpha d\beta$$

## 6. Restauration : initiation

### ■ Filtrage optimal : Filtre de Wiener

- Et donc :

$$\int_{-\infty}^{\infty} \int_{-\infty}^{\infty} o^2(x, y)dxdy = \int_{-\infty}^{\infty} \int_{-\infty}^{\infty} \int_{-\infty}^{\infty} \int_{-\infty}^{\infty} \phi_{ii}(\xi - \alpha, \eta - \beta)h'(\xi, \eta)h'(\alpha, \beta)d\xi d\eta d\alpha d\beta$$

- De plus

$$o(x, y)d(x, y) = \int_{-\infty}^{\infty} \int_{-\infty}^{\infty} i(x - \xi, y - \eta)h'(\xi, \eta)d(x, y)d\xi d\eta$$

## 6. Restauration : initiation

### ■ Filtrage optimal : Filtre de Wiener

- Donc :

$$\int_{-\infty}^{\infty} \int_{-\infty}^{\infty} o(x, y)d(x, y)dxdy = \int_{-\infty}^{\infty} \int_{-\infty}^{\infty} \phi_{ia}(\xi, \eta)h'(\xi, \eta)d\xi d\eta$$

- Or

$$\int_{-\infty}^{\infty} \int_{-\infty}^{\infty} d^2(x, y)dxdy = \phi_{aa}(0, 0)$$

## 6. Restauration : initiation

### ■ Filtrage optimal : Filtre de Wiener

- Enfin :

$$E = \int_{-\infty}^{\infty} \int_{-\infty}^{\infty} \int_{-\infty}^{\infty} \int_{-\infty}^{\infty} \phi_{ii}(\xi - \alpha, \eta - \beta)h'(\xi, \eta)h'(\alpha, \beta)d\xi d\eta d\alpha d\beta - 2 \int_{-\infty}^{\infty} \int_{-\infty}^{\infty} \phi_{ia}(\xi, \eta)h'(\xi, \eta)d\xi d\eta + \phi_{aa}(0, 0)$$

- Il s'agit du critère à minimiser pour déterminer  $h'(x, y)$

## 6. Restauration : initiation

### ■ Filtrage optimal : Filtre de Wiener

- Solution (Euler-Lagrange):

$$\int_{-\infty}^{\infty} \int_{-\infty}^{\infty} \phi_{ii}(\xi - \alpha, \eta - \beta) h'(\alpha, \beta) d\alpha d\beta - \phi_{id}(\xi, \eta) = 0$$

- Soit :

$$\phi_{id} = \phi_{ii} * h' \quad \text{ou} \quad \boxed{\Phi_{id} = H' \Phi_{ii}} \quad \text{Domaine fréquentielle}$$

## 6. Restauration : initiation

### ■ Filtrage optimal : Filtre de Wiener

- Solution : Cas du bruit additif

$$i(x, y) = b(x, y) + n(x, y). \quad \text{Avec } d(x, y) = b(x, y)$$

- Donc

$$\Phi_{id} = \Phi_{bb} + \Phi_{nb}$$

$$\Phi_{ii} = \Phi_{bb} + \Phi_{bn} + \Phi_{nb} + \Phi_{nn}$$

## 6. Restauration : initiation

### ■ Filtrage optimal : Filtre de Wiener

- Hypothèse : bruit non corrélé aux données

$$H' = \frac{\Phi_{id}}{\Phi_{ii}} = \frac{\Phi_{bb}}{\Phi_{bb} + \Phi_{nn}} = \frac{1}{1 + \Phi_{nn}/\Phi_{bb}}$$

## 6. Restauration : initiation

### ■ Filtrage optimal : Filtre de Wiener

- Solution : Cas de détériorations convolutive et additive

$$i = b * h + n \quad \text{Avec } d(x, y) = b(x, y)$$

- Donc

$$\Phi_{id} = H \Phi_{bb} + \Phi_{nb}$$

$$\Phi_{ii} = H^2 \Phi_{bb} + H(\Phi_{nb} + \Phi_{bn}) + \Phi_{nn}$$



## 6. Restauration : initiation

### ■ Filtrage optimal : Filtre de Wiener

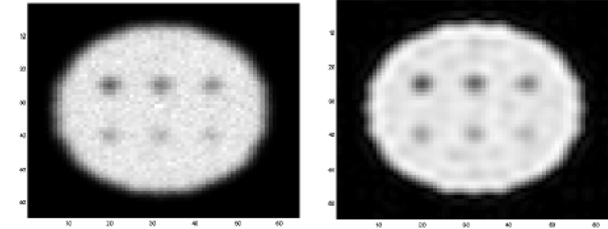
- Même hypothèse sur le bruit

$$H' = \frac{\Phi_{id}}{\Phi_{ii}} = \frac{H\Phi_{bb}}{H^2\Phi_{bb} + \Phi_{nn}}$$

## 6. Restauration : initiation

### ■ Filtrage optimal : Filtre de Wiener

- Résultat



## Bibliographie

- J.P. Cocquerez et S. Philipp « *Analyse d'images : filtrage et segmentation* » Masson 1995.
- R.C. Gonzalez et Woods « *Digital Image Processing - 2d edition* » Addison Wesley 2002.
- A. Rosenfeld et A.C. Kak « *Digital picture processing* » Academic Press - London 1982.
- H. Maître (ss la direction de) « *Le traitement des images* » Hermes Lavoisier IC2 2003.
- J.R. Parker « *Algorithms for Image Processing and Computer Vision* » Wiley & Sons 1997.
- S. Bres, J.M. Jolion, F. Lebourgeois « *Traitement et analyse des images numériques* » Hermes Lavoisier 2003
- I.T. Young, J.J. Gerbrands et L.J. Van Vliet « *Fundamentals of Image Processing* » Université de Delft.  
<http://www.ph.tn.tudelft.nl/~lucas/publications/1995/FIP95TYJGLV/FIP2.2.pdf>
- D. Lingrand « *Introduction au Traitement d'images* » Vuibert 2004.